

# ZAMANA BAĞLI DOĞAL ISI TAŞINIMININ DİKEY PLAKADA SAYISAL ANALİZİ

**İbrahim UZUN, Nur TERLEMEZOĞLU, Battal DOĞAN**

Kırıkkale Üniversitesi, Mühendislik Fakültesi, Makine Mühendisliği Bölümü, 71450-Kırıkkale

Geliş Tarihi : 19.11.2003

## ÖZET

Sabit duvar sıcaklığı sınır şartı altında dikey bir plakada zamana bağlı doğal ısı taşınımı problemi sayısal olarak incelenmiştir. Çalışmada Bousinesq varsayıımı ile elde edilen laminer sınır tabaka denklemlerinin çözümü yapılmıştır. Hesaplamlarda Gr ve Re sayısı değişken olarak alınmıştır. Çözülecek denklemlerin sonlu fark ve sonlu eleman karşılıkları yazılarak geliştirilen programlar kullanılarak çözüm düzlemindeki hız, sıcaklık ve basınç dağılımları elde edilmiştir. Elde edilen sayısal sonuçlar grafik ve tablolarla verilmiştir. Benzerlik ve integral çözümleriyle ne denli uyuştuğu karşılaştırılmış olarak verilmiştir.

**Anahtar Kelimeler :** Doğal taşınım, Dikey plaka, Isı taşınımı

## NUMERICAL ANALYSIS OF NATURAL UNSTEADY CONVECTION HEAT TRANSFER FROM VERTICAL PLATE

## ABSTRACT

For boundary conditions of constant wall temperature, unsteady natural heat transfer at vertical plate have been investigated as numerically. In this study, laminar boundary layer equations have been solved based on Bousinessq assumption. In the computations, Gr and Re numbers have been taken as variables. By using some programs developed for finite difference and finite element codes for the related equations, the velocity and temperature distributions have been obtained. The obtained numerical results were shown with graphics and tables. Results were compared with similarity and integral methods.

**Key Words :** Free convection, Vertical plate, Heat convection

## 1. GİRİŞ

Çoğu sanayi tesisinde cihazların üretikleri ısının atılması önemli bir problem teşkil etmektedir. Bu durumda elemanların üzerinden ısının atılması mümkünse doğal taşınım ile değilse zorlanmış taşınım ile atılmaya çalışılmaktadır. Isı üreten cihazların ayrıca bir enerji harcamadan soğutulmaları veya çok küçük olmaları çoğu zaman doğal taşınım ile soğutulmalarını zorunlu kılmaktadır. Yarı sonsuz bir plaka üzerinde sürekli akış olduğu düşünülderek momentum, enerji ve

süreklik denklemleri sınır tabaka denklemleri şeklinde basitleştirilerek ele alınmıştır. Isı transfer karakteristikleri üzerindeki etkisini açıkça görebilmek için düşük Rayleigh ( $Ra$ ) sayılarında inceleme yapılmıştır.

Literatürde benzer çalışmalar yeterince yapılmış olup sayısal ve analitik çalışmaların beraber incelendiği araştırmalar çok değildir. Satio ve Yamasaki (2000) bir tarafı sıcak ve diğer tarafı soğuk sonlu uzunluktaki bir dikey plakada, doğal taşınım problemi Grashof sayısının  $0.1$  ile  $1.0 \times 10^5$  aralığında alarak farklı yüzey sıcaklıklarını için

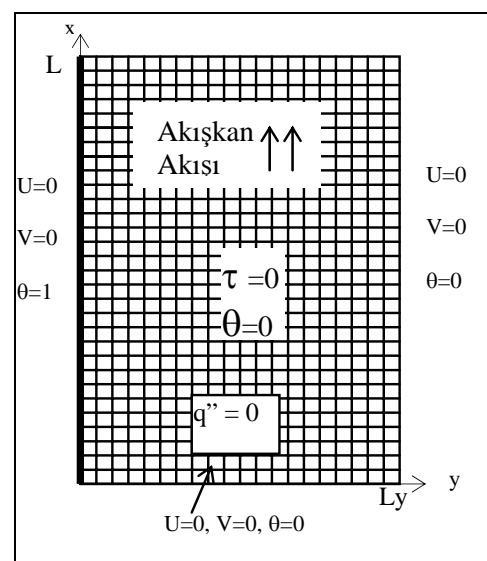
hesaplamıştır. Sayısal çözümleme yapılp belirli Gr sayısı aralığında çözümler elde edilmiştir. Analitik sonuçlarla karşılaştırma yapılmamıştır. Li et al., (2001) yüzey sıcaklığının dalgalandırmalı bir değişim gösterdiği durumu iteratif bir sayısal çözüm yöntemi ile Grashof sayısının 0 - 625 aralığında incelemiştir. Bir diğer çalışmada Frederick (1997) üç boyutlu bir kübik prizma yüzeyinde soğuk ve sıcak yüzeylerin aktif olduğu durumu Grashof sayılarının geniş bir aralığında ele alınmıştır ve böylece literatüre doğal taşınım probleminin üç boyutlu çözümünü kazandırmıştır. Yang and Zhu, (2003) egek paralel duvarlı kanalda alt duvarın ısıtılması durumundaki doğal taşınım problemini PnIII yöntemi kullanarak sayısal olarak çözmüştür. Çözümde Pr sayısını 5 civarında alarak akışkanın su olduğunu varsayımiş, Ra sayısını da  $1 \times 10^3 - 2.5 \times 10^3$  arasında değiştirmek üzere farklı grid sayılarında Nu sayısının değişimlerini incelemiştir. PnIII çözümünü egek bir levha için başarıyla uygulamıştır. Manz (2003) bina yüzlerindeki doğal taşınım problemini Ra sayılarını 1000 - 1.0E06 aralığında alarak Nu sayısını ile Ra sayısı arasındaki ilişkiyi sayısal olarak incelemiştir. Böylece  $Nu = f(Ra, A)$  olduğunu ispatlamıştır. Abu-Nada et al., (2003) ısıtılmış yatay silindir üzerindeki doğal taşınım problemi momentum ve enerji denklemlerinin tam şeklini dikkate alarak sonlu fark teknigi kullanarak çözmüş, çözümü dönüştürülmemiş bir çözüm düzleminde gerçekleştirmiştir. Hesaplama larda Ra sayısını  $1 \times 10^3$  ile  $1 \times 10^5$  arasında alarak Nu sayısının değişimlerini incelemiştir. Doğal taşınım probleminde silindirik koordinatlarda çözüm yapılmış ve sonuçlar elde edilmiştir. Ece ve Büyüük (2002) dikey plakadaki doğal ve zorlanmış taşınım problemini ise power-law akışkanı için benzerlik yaklaşımı kullanarak incelemiştir. Analitik olarak farklı bir akışkan türünde çözümleme yapmıştır.

Bu çalışmada zamana bağlı dikey plakada doğal taşınım problemi için sayısal sonuçlarla analitik sonuçların karşılaştırımlı bir uygulaması yapılmıştır. Sayısal yöntemlerden sonlu fark çözümünün sabit ızgara aralığında ve farklı düğüm sayılarında analitik sonuçlara ne derece yaklaşığı gösterilmiştir. Çalışma özellikle Ra sayısının büyük bir aralığında yapılarak, akışkan türünden bağımsız hale getirilmiş ve elde edilen değerlerle literatürdeki sonuçlara genişlik kazandırılmaya çalışılmıştır.

## 2. PROBLEMIN TANIMI VE TEMEL DENKLEMLER

Dikey doğrultuda yeterince uzun ve bu doğrultunun normali yönünde ise sınır tabakanın dışında olacak şekilde bir uzunluk düşünülerek Şekil 1'de

gösterilen sayısal model incelenmiştir. Dikey doğrultudaki duvar sıcaklığının  $T_w$  sıcaklığında sabit tutulduğu durum için çözümler yapılmıştır. Çözüm düzleminin tabanından ısı geçiği olmadığı diğer çevre sıcaklıklarının  $T_\infty$  sıcaklığına eşit olduğu düşünülmüştür. Akışkanın başlangıçta durgun olduğu ve bütün çözüm düzlemindeki düğümlerin aynı sıcaklıkta ve hızda olduğu başlangıç şartı olarak verilmiştir. Akışkanın sıkıştırılamaz, sınır tabaka eşitlikleri ise Boussinesq varsayımi altında elde edilen basitleştirilmiş sınır tabaka denklemleri ele alınarak çözüm yapılmıştır.



Şekil 1. İncelenen sistemin şematik gösterimi

Çözümü yapılacak olan momentum, enerji ve süreklilik denklemlerinin boyutlu şekli aşağıdaki eşitlikler (1-3)'de verilmiştir.

Momentum eşitliği :

$$\frac{\partial u}{\partial t} + u \frac{\partial u}{\partial x} + v \frac{\partial u}{\partial y} = g \beta (T - T_\infty) + v \frac{\partial^2 u}{\partial x^2} \quad (1)$$

Enerji eşitliği :

$$\frac{\partial T}{\partial t} + u \frac{\partial T}{\partial x} + v \frac{\partial T}{\partial y} = \alpha \cdot \frac{\partial^2 T}{\partial y^2} \quad (2)$$

Süreklilik eşitliği :

$$\frac{\partial u}{\partial x} + \frac{\partial v}{\partial y} = 0 \quad (3)$$

Yukarıdaki (1-3) eşitlikleri ( $X = x/L$ ,  $Y = y/L$ ,  $[\theta = (T - T_\infty)/(T_w - T_\infty)]$ ,  $(\tau = \alpha \cdot t / L^2)$ ,  $(U = u/u_0)$  ve  $(V = v/u_0)$ ) boyutsuz tanımlamaları kullanılarak

aşağıdaki (4-6) eşitlikleri şeklinde boyutsuz hale getirilmiştir.

$$U_{\tau} \frac{1}{Re \cdot Pr} + U \cdot U_X + V \cdot U_Y = \theta \frac{Gr}{Re^2} + U_{YY} \frac{1}{Re} \quad (4)$$

$$\theta_{\tau} \frac{1}{Re \cdot Pr} + U \cdot \theta_X + V \cdot \theta_Y = \theta_{YY} \frac{1}{Re \cdot Pr} \quad (5)$$

$$U_X + V_Y = 0 \quad (6)$$

Burada, boyutsuz olarak (X) ve (Y) koordinatları, ( $\theta$ ) sıcaklığı, ( $\tau$ ) zamanı, (U) ve (V) ise sırasıyla (x) ve (y) doğrultularındaki hızları göstermektedir. Re ve  $Gr_L$  sayıları ise dikey doğrultudaki maksimum uzunluk olarak tanımlanan L karakteristik uzunlığında tanımlanmış sırasıyla Reynolds ve Grashof sayılarını, Pr ise akışkanın Prandtl sayısını göstermektedir. Yukarıdaki eşitlikler (4-6)'nın sayısal çözümü için aşağıdaki eşitlikler (7a-7d) ile verilen başlangıç ve sınır şartları kullanılmıştır.

Sınır şartları :

$$X = 0 \text{ için } U = 0, V = 0, \theta = 0 \quad (7.a)$$

$$Y = 0 \text{ için } U = 0, V = 0, \theta = 1 \quad (7.b)$$

$$Y = \infty \text{ için } U = 0, V = 0, \theta = 0 \quad (7.c)$$

Başlangıç şartları :

$$\tau = 0 \text{ için } U = 0, V = 0, \theta = 0 \quad (7.d)$$

Kısmi türevli doğrusal olmayan diferansiyel eşitlikler (4), (5) ve (6) kullanılarak (U), (V) ve ( $\theta$ ) büyülükleri (X), (Y) ve ( $\tau$ )'nun fonksiyonları olarak elde edilebileceği bilinmektedir. Problemde, çözüm düzlemine dik doğrultuda bir değişiklik varsayılsaydı üç boyutlu olarak düşünülebilirdi. Ancak bu doğrultunun yeterince uzun ve zamana bağlı bir değişikliğin olmadığı düşünülerek problem iki boyutlu olarak ele alınmıştır. Temel eşitliklerde akışkan özelliklerinin sabit olduğu varsayılmış ancak yoğunluğun Boussinesq varsayıımı altında sıcaklıkla değiştiği ve akışkanın hareketinin yoğunluk farkından dolayı gerçekleştiği varsayılmıştır.

### 3. SAYISAL ÇÖZÜM YÖNTEMİ

Kararlı durumda çözümü elde etmek için zamana bağlı çözümlerin kararlı duruma ulaşıcaya kadar götürülmesi gerekmektedir. Zaten kullanılan kısmi türevli eşitlikler de zamana bağlı terimleri içermektedir. Eşitliklerden de görüleceği gibi  $\partial U / \partial \tau$

ve  $\partial \theta / \partial \tau$  değerlerinin istenilen yaklaşım hatasının altına inmesi durumundaki çözümler kararlı durumda değerler olarak alınabileceği bilinmemektedir. Kararlı durumda sıcaklık ve hız dağılımlarını zamana bağlı adımları çözmeden elde etmek için sıfırdan farklı bir hız ve sıcaklık dağılımı varsayıarak iterasyona başlanılmalıdır. Sayısal çözüm için çözüm düzleminin boyutsuz büyülükleri sonlu uzunlukta seçilmiş olup  $y = \infty$  sınır şartını sağlamak için  $Y = y/L_y$ , dikey plakanın yeterince uzun olmasını sağlamak için ise  $X = x/L = 1$  olarak alınmıştır. Kısmi türevli eşitliklerin sonlu fark karşılıkları aşağıdaki şekilde yazılmışlardır.

$$\frac{U_{m,n}^{t+1} - U_{m,n}^t}{\Delta \tau \cdot Re \cdot Pr} + U_{m,n} \frac{U_{m,n} - U_{m-1,n}}{\Delta X} + V_{m,n} \frac{U_{m,n+1} - U_{m,n}}{\Delta Y} = \theta_{m,n}^{t+1} \frac{Gr_L}{Re^2} + \frac{U_{m,n+1} - U_{m,n} + U_{m,n-1}}{(\Delta Y)^2 \cdot Re} \quad (8)$$

$$\frac{\theta_{mn}^{t+1} - \theta_{mn}^t}{\Delta \tau \cdot Re \cdot Pr} + U_{mn} \frac{\theta_{mn} - \theta_{m-1,n}}{\Delta X} + V_{mn} \frac{\theta_{mn+1} - \theta_{mn}}{\Delta Y} = \frac{\theta_{mn+1} - \theta_{mn} + \theta_{mn-1}}{(\Delta Y)^2 \cdot Re} \quad (9)$$

$$\frac{U_{m,n}^{t+1} - U_{m-1,n}^t}{\Delta X} + \frac{V_{m,n}^{t+1} - V_{m,n-1}^t}{\Delta Y} = 0 \quad (10)$$

Burada, ( $U_{m,n}^{t+1}$ ), ( $V_{m,n}^{t+1}$ ) ve ( $\theta_{m,n}^{t+1}$ ) iterasyon esnasında bir sonraki zaman adımındaki veya diğer bir deyişle her iterasyon sonunda elde edilen yeni değerlerdir. Bir iterasyon boyunca (U), (V) ve ( $\theta$ ) değerleri sabittir. Eşitlikler (8), (9) ve (10) her bir yeni boyutsuz zaman adımı ( $\Delta \tau$ ) için hesaplanırlar. Bütün düğümler için  $\partial U / \partial \tau \leq \epsilon$  ve  $\partial \theta / \partial \tau \leq \epsilon$  olduğunda kararlı durumda sonuçlara ulaşılmış varsayıılır. Burada bütün değişkenlerin yaklaşım hatası için  $\epsilon = 1 \times 10^{-7}$  değeri esas alınmıştır. Kararlı durumda değerlere ulaşılınca kadar iterasyonlara devam edilmiştir. Kısmi türevli eşitlikler açık yöntemle ifade edildiğinden, bütün zamana bağlı çözümlerde olduğu gibi zaman artırımının sisteme kararsızlık getirip getirmediği bilinmelidir. Eşitlikler (8), (9) ve (10) için bütün boyutsuz zaman artırımıyla kararlı durum değerlerine ulaşlamaz. Bunun için uygun ( $\Delta \tau$ ) değerinin belirlenmesi gerekmektedir. Hellium bu konudaki kararlı çözüm için aşağıdaki (11) numaralı eşitliğin sağlanması gerektiğini belirtmiştir (Hellium and Churchill, 1962). Burada U ve V değerleri çözüm düzlemindeki en büyük değerli hız bileşenleri göstermekte olup, problemin zamana bağlı olmasından U ve V değerleri bilinmemektedir. Ancak  $\Delta \tau$  değerlerinin çok küçük alınması veya çözüm düzleminde daha fazla düğüm oluşturulması ile çözülmüştür. Bu durum iterasyon sayısının veya çözülecek eşitlik sayısının artması anlamına gelmektedir.

$$\frac{U \Delta \tau}{\Delta X} + \frac{|V| \Delta \tau}{\Delta Y} + \frac{2 \Delta \tau}{(\Delta X)^2} \leq 1. \quad (11)$$

Ancak, momentum, süreklilik ve enerji eşitlikleri  $Re$ ,  $Gr$  ve  $Pr$  sayılarına bağlı olarak bulunduğuundan ve bu boyutsuz sayılarından  $Ra$  sayısı değiştirilerek sonuçlar alındığından  $U$  değerleri her bir  $Ra$  sayısı için farklı bulunmaktadır. Bu durumda da her bir  $Ra$  sayısı için kararlı çözüm verecek zaman artırımına bakılmalı ya da bütün çözümler çok küçük zaman artımı ile çözülmelidir.

Çözümler  $Re$  sayısının farklı değerlerinde ve  $Ra$  sayısının  $1 \times 10^0$  ile  $1 \times 10^8$  aralığında değiştiği durumlar için elde edildi. Ancak karşılaştırma amaçlı  $Pr$  sayısının küçük değerlerinde ( $Pr \approx 1$ ),  $Gr$  sayısının küçük ve  $Re$  sayısının büyük olduğu durumda  $Gr/Re^2$  ifadesinden bilieneceği üzere doğal taşınım etkisi azaldığından sonuçların çok anlamlı olmayacağı söylenebilir. Çözümlerde  $\Delta Y = 0.025$  ve  $\Delta X = 0.0125$  olarak alınmıştır. Daha küçük ve büyük  $\Delta X$  ve  $\Delta Y$  aralıkları için de çözümler bulunmuş, sonuçların birbirlerine ne denli yakın çıktıgı sonuçlar bölümündeki Tablo 1'de gösterilmiştir. Ancak aralıkların çok küçültülmesinde kararlılık ve yakınsama problemleriyle karşılaşılabilcegi unutulmamalıdır. Kararlı rejimdeki sonuçlara erişilip erişilmediği bütün düğüm noktalarının bir önceki iterasyondaki değerlerle arasındaki farkın  $\varepsilon$  değerinden küçük olması bir başka ifade ile aşağıdaki eşitlik (12) ile gösterilen şartı sağlayıp sağlanmadığını bakılmıştır. Burada (m) ve (n) sırasıyla (x) ve (y) yönündeki düğüm sayılarını göstermektedir.

$$\left( \left( U_{i,j}^{t+1} - U_{i,j}^t \right), \left| V_{i,j}^{t+1} - V_{i,j}^t \right|, \left| \theta_{i,j}^{t+1} - \theta_{i,j}^t \right| \right)_{i=1,m} \Big|_{j=1,n} < \varepsilon \quad (12)$$

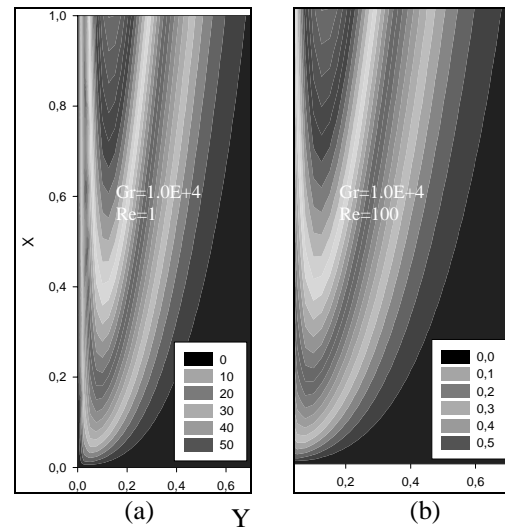
Tablo 1. Grid sayısına bağlı olarak Ortalama Nusselt Sayısının Değişimi

Grid	$Nu_L$	$Nu_m$	Grid	$Nu_L$	$Nu_m$
10x10	5.832	6.961	80x40	6.480	9.045
20x20	6.508	8.881	100x40	6.468	8.951
30x20	6.468	8.652	100x80	6.456	9.425
40x40	6.512	9.506	200x120	6.420	9.214
60x40	6.488	9.205	400x120	6.420	8.903

## 4. SONUÇLAR

Sabit duvar sıcaklığı sınır şartı altında  $Ra$  sayısının sabit ve  $1 \times 10^4$  alındığı çözümde  $Re$  sayısının küçük  $Re = 1$  ve büyük  $Re = 100$  olduğu iki durum için  $U$  hızının dağılımı sırasıyla Şekil 2a ve 2b'de gösterilmiştir.  $Re$  sayısının artmasıyla hız dağılımının değişmediği ancak değer olarak  $Re$  sayısının çarpımı şeklinde büyüğü görülmektedir. Bu durum zaten momentum eşitliği olan eşitlik (1)'den de görülmektedir. Dikey doğrultudaki hız

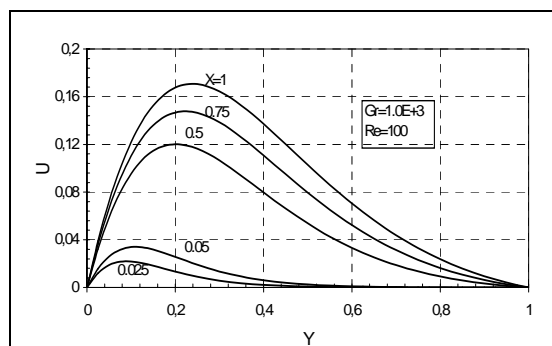
bileşeninin plaka boyunca değişimi ve plaka bitiminde aldığı profil Şekil 3'de görülmektedir.  $Ra$  sayısının artmasıyla duvara yakın bölgede hız değerlerinin arttığı  $Ra$  sayısının azalmasıyla ise azaldığı Şekil 4'de açıkça görülmektedir.  $Ra$  sayısının küçük değerlerinde hız sınır tabakanın yatay doğrultuda daha etkin olduğu ve vektörel büyüklüklerinin küçüldüğü şeillerin karşılaştırılmasından görülmektedir. Ancak,  $Ra$  sayısının küçük olduğu durumda doğal taşınımın etkin olmadığı bu şeillerden anlaşılmaktadır.



Şekil 2. Plaka yönündeki hız bileşeni (U) eş eğrileri

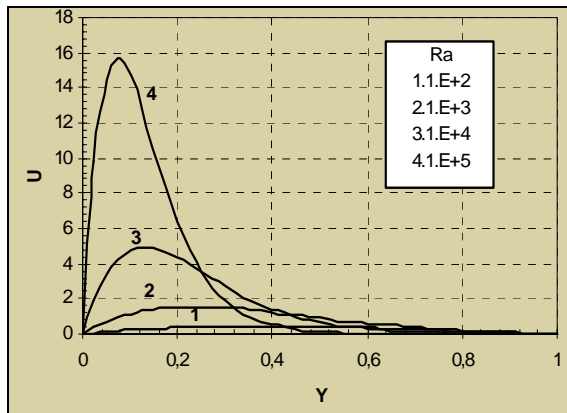
Çözüm düzleminde sıcaklık dağılımı  $Ra$  sayısının iki farklı durumu için Şekil 5a ve 5b'de gösterilmiştir. Beklenildiği gibi  $Ra$  sayısının artmasıyla sınıra yakın düğümlerdeki sıcaklık değerlerinin arttığı diğer durumda ise azaldığı görülmektedir. Şekil 6'da ise sıcaklık profiline plaka boyunca nasıl değiştiği verilmiştir.

Dikey plakada ısı taşınım katsayısının dolayısıyla Nusselt sayısının plaka boyunca değişimi boyutsuz sıcaklık gradyeni olarak hesaplandığı bilinmektedir.

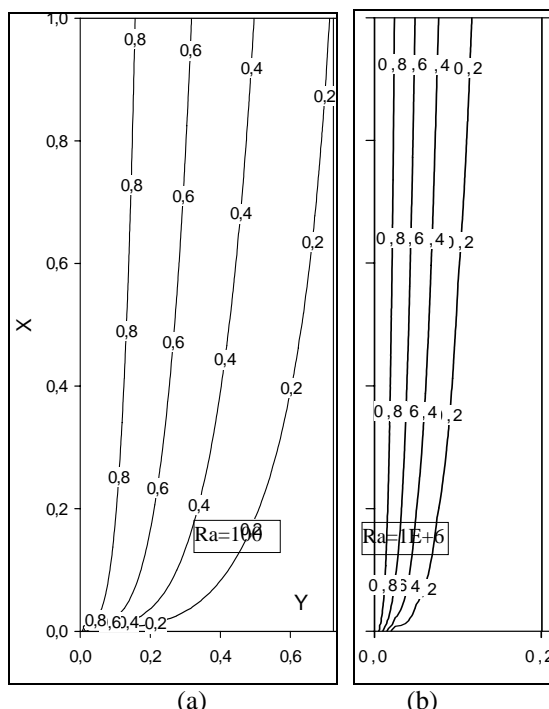


Şekil 3. Dikey plakanın değişik noktalarında yatay yönde hız değişimleri.

Dikey plakada sabit duvar sıcaklığı sınır şartı altında ısı taşınım katsayısı ( $h$ ) aşağıdaki eşitlik (12) olarak yazılabilir. Bu eşitlikten hareketle boyutsuz tanımlamalar ve karakteristik uzunluk olarak alınan plaka boyu ( $L$ ) kullanılarak  $Nu_L$  sayısı eşitlik (13) şeklinde bulunmuştur.



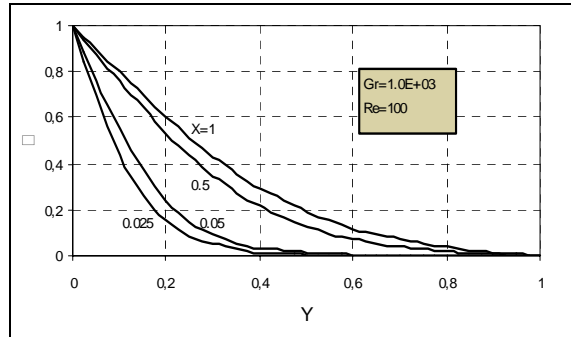
Şekil 4. Dikey Plakada farklı Ra sayılarında  $X = L$  için yatay yönde hız değişimleri.



Şekil 5.  $Re = 10$  için Ra sayısının farklı değerlerinde sıcaklık dağılımı eş eğrileri

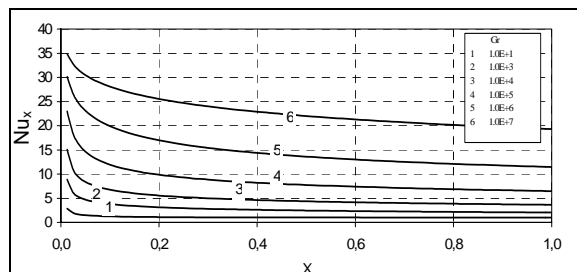
$$h = \frac{-k(\partial T / \partial y)_{y=0}}{(T_w - T_\infty)} \quad (12)$$

$$Nu_L = \left( \frac{\partial \theta}{\partial Y} \right)_{Y=0} \left( \frac{x}{L} \right)_{x=L} \quad (13)$$



Şekil 6. Dikey plakanın değişik noktalarında yatay yönde sıcaklık değişimleri.

$Gr$  sayısının küçük değerlerinde sıcaklık gradyanının çok küçük olduğu ve değişimlerin plakaya yakın noktalarda gözlemebildiği söyleyenbilir. Ancak  $Gr$  sayısının büyük olduğu durumlarda sıcaklık gradyanının büyüğü ve sıcaklık değişiminin plaka tam boyuna ulaşmadan durgun bölgeye nüfuz ettiği görülmektedir. Böylece  $Gr$  sayısının artmasıyla çıkıştaki ( $Nu_L$ ) Nusselt sayısının arttığı Şekil 7'de gösterilmiştir. Nusselt sayının benzerlik ve integral çözümleriyle karşılaştırılabilmesi için tanımlamaların aynı büyüklüklerle gösterilmesi gerekmektedir. Bu şekilde tanımlanan yerel Nusselt sayısı ( $Nu_x$ ) aşağıdaki eşitlik (14) şeklinde elde edilmiştir. Benzerlik ve integral çözümlerinden elde edilen  $Nu_x$  ifadeleri ise eşitlik (15) ve eşitlik (16)'de verilmiştir (Doğan, 2002).



Şekil 7. Farklı  $Gr$  sayılarında Nusselt ( $Nu_x$ ) sayısının plaka boyunca değişimi.

$$Nu_x = \left( \frac{\partial \theta}{\partial Y} \right)_{Y=0} . X \quad (14)$$

$$Nu_x = \left( \frac{Gr_x}{4} \right)^{1/4} \frac{0.75Pr^{1/2}}{\left( 0.609 + 1.221Pr^{1/2} + 1.238Pr \right)^{1/4}} \quad (15)$$

$$Nu_x = 0,508 \frac{\left( Gr_x \right)^{1/4} \left( Pr \right)^{1/2}}{\left( 0,952 + Pr \right)^{1/4}} \quad (16)$$

Nusselt sayısının plaka giriş bölgesinde beklenildiği gibi değişiminin büyük ve doğrusal olmadığı ancak

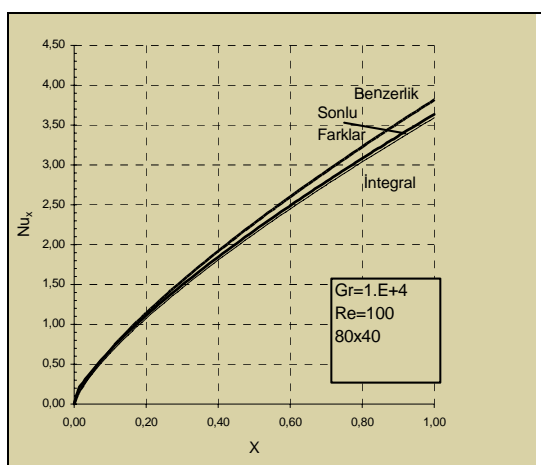
plaka boyunca ilerledikçe sıcaklık gradyanının düştüğü ve dolayısıyla Nusselt sayısının da düşerek doğrusal bir değişim gösterdiği görülmektedir. Ra sayısının  $1 \times 10^5$  olduğu durumda,  $Nu_L$  sayısının değişimi,  $X = 0.2$  de 0.16 iken  $X = 0.9$ 'daki 0.04 civarındadır. Plakanın son noktası olan  $X = 1$ 'deki  $Nu_L$  ve  $Nu_m$  değerleri Gr sayısına bağlı olarak Tablo 2'de verilmiştir.  $X = 0.4$  değerinden sonra değişimin doğrusala yakın olduğu söylenebilir.

Tablo 2. Gr Sayısına Bağlı Olarak  $X = L$ 'deki  $Nu_L$  ve  $Nu_m$  Değerleri

Gr	$Nu_L$	$Nu_m$	Gr	$Nu_L$	$Nu_m$
$1 \times 10^0$	1.000	1.493	$1 \times 10^4$	3.636	5.347
$1 \times 10^1$	1.000	1.568	$1 \times 10^5$	6.480	9.045
$1 \times 10^2$	1.192	2.047	$1 \times 10^6$	11.452	15.117
$1 \times 10^3$	2.040	3.224	$1 \times 10^7$	19.300	23.197

Nusselt sayısının plaka boyunca değişimi, bu çalışmada elde edilen Sonlu fark çözümleri ile benzerlik ve integral çözümlerinin karşılaştırılmalı grafiği Şekil 8'de verilmiştir. Bu grafikten, sayısal çözümle diğer iki analitik çözümün ne kadar örtüşlüğü görülmektedir.

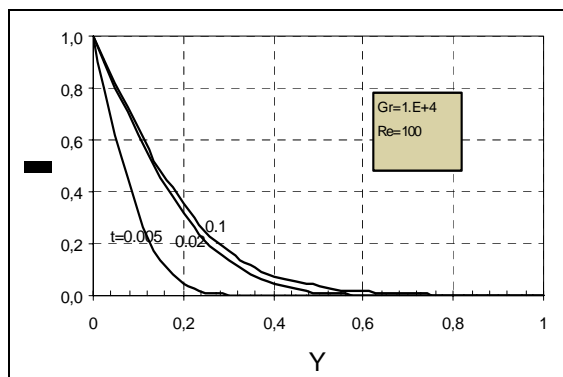
$Nu_x$  ve  $Nu_m$  değerlerinin düğüm sayılarına göre nasıl bir değişim gösterdiği ise Tablo 1'de gösterilmiştir. Bu Tablodan doğal olarak düğüm sayıları arttıkça sonuçların daha hassas olacağını söyleyebilir. Ancak düğüm sayılarının çok artırılmasının sonucu etkisi fazla olmamaktadır. Düğüm sayıları 60x40 dan sonraki değerler neredeyse aynı olmaktadır. Bu Tablodaki değerler  $X = L$ 'de,  $Gr=1 \times 10^5$  için ve  $\Delta\tau=1 \times 10^{-4}$  için elde edilen değerlerdir. Ancak 100x40 ve 100x80 düğüm sayıları için zaman artımı yakınsama için  $\Delta\tau = 1 \times 10^{-5}$  alınmıştır.



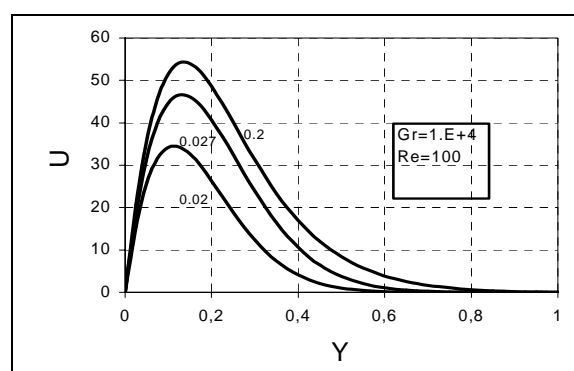
Şekil 8. Yerel  $Nu_x$  sayısının plaka boyunca değişiminin karşılaştırılması.

Dikey doğrultudaki hız bileşeni ( $U$ ) ve sıcaklık dağılımının zamana bağlı olarak değişimleri sırasıyla Şekil 9 ve Şekil 10'da verilmiştir. Gr sayısının  $1 \times 10^4$

olduğu durumda kararlı duruma  $\tau = 0.1$  civarında ulaşıldığı görülmektedir. Bu çalışmada kullanılmamasına rağmen  $\Delta\tau$  değerlerinin değişken alınması bir başka deyişle plakaya yakın düğümlerde küçük ve plakadan uzaklaşıkça artan şekilde alınması daha iyİ sonuçlar vereceği söylenebilir. Bu şekilde sınır tabaka içerisindeki değişimler daha iyİ görülebilirdi.



Şekil 9. Farklı zaman değerlerinde  $X = L$  için  $\theta$  boyutsuz sıcaklıklarının plaka boyunca değişimi



Şekil 10. Farklı zaman değerlerinde  $X = L$  için  $U$  hızının plaka boyunca değişimi

## 5. KISALTMALAR

- $c_p$  : Özgür ısı (J/kgK)
- $Gr_x$  : Grashof Sayısı ( $= g\beta(T_w - T_\infty)x^3/v^2$ )
- $Gr_L$  : Çıkıştaki Grashof sayısı  
[ $= g\beta(T_w - T_\infty)L^3/v^2$ ]
- $h$  : Isı taşınım katsayısı (W/m<sup>2</sup>K)
- $k$  : Isı iletim katsayısı (W/mK)
- $L$  : Plakanın dikey uzunluğu (m)
- $L_y$  : Plakanın yatay uzunluğu (m)
- $Nu_L$  : Çıkıştaki Nusselt sayısı ( $= hL/k$ )
- $Nu_m$  : Ortalama Nusselt sayısı
- $Nu_x$  : Yerel Nusselt sayısı ( $= hx/k$ )
- $Pr$  : Prandl sayısı ( $= \mu C_p/k$ )
- $Ra$  : Rayleigh sayısı ( $= Gr_L \times Pr$ )

Re	: Reynolds sayısı (= $uL/v$ )
t	: Zaman (s)
$T_\infty$	: Akışkan sıcaklığı (K)
$T_w$	: Duvar sıcaklığı (K)
u,v	: (x) ve (y) yönündeki hız bileşenleri (m/s)
$u_0$	: (x) yönündeki referans hızı (m/s)
U,V	: (x) ve (y) yönündeki boyutsuz hız bileşenleri sırasıyla [ $(=u/u_0)$ , $(=v/u_0)$ ]
$\alpha$	: Isı yayım katsayısı ( $m^2/s$ )
$\tau$	: Boyutsuz zaman ( $=\alpha \cdot t/L^2$ )
$\theta$	: Boyutsuz sıcaklık [ $(T - T_\infty) / (T_w - T_\infty)$ ]

## 6. KAYNAKLAR

Abu-Nada, E., Al-Sarkhi, A., Ashhab, M. and Akash, B. 2003. "The Effect Of Suction Boundary Condition On The Local And Average Nusselt Numbers For A Free Convection Flow Regime", Int. Comm. Heat Mass Transfer, Vol. 30., No. 3, pp. 423-433.

Aktas, M. K. and Farouk, B. 2003 "Numerical Simulation Of Developing Natural Convection In An Enclosure Due To Rapid Heating", Int. J. of Heat and Mass Transfer, Vol. 46, pp. 2253-2261.

Al-Sarkhi, A., Abu-Nada, E., Akash, B. A. and Jaber, J. O. 2003. "Numerical Investigation Of Shrouded Fin Array Under Combined Free And Forced Convection", Int. Comm. Heat Mass Transfer, Vol. 30., No. 3, pp. 435-444.

Doğan, B. 2002. "Dikey Bir Levhada Laminer Akış Şartlarında Doğal Isı Taşınımının İncelenmesi", Yüksek Lisans Tezi

Ece, M. C. and Büyükk, E. 2002 "Similarity Solutions For Free Convection To Power-Law Fluids From A Heated Vertical Plate", Applied Mathematics Letters, 15, pp. 1-5.

Frederick, R. L. 1997 "Natural Convection Heat Transfer In A Cubical Enclosure With Two Active Sectors On One Vertical Wall", Int. Comm. Heat Mass Transfer, Vol. 24, No. 4, pp 507-520.

Hellium, J. D. and Churchill, S. W. 1962 "Transient And Steady State Free And Natural Convection, Numerical Solutions", Part 1, A.I. Ch.E. Journal, 8, pp. 690-692.

Horvat, A. and Catton, I. 2003 "Numerical Technique For Modeling Conjugate Heat Transfer In A Electronic Device Heat Sink", Int. J. of Heat and Mass Transfer, Vol. 46, pp. 2155-2168.

Li, J., Ingham, D.B. and Pop, I. 2001. "Natural Convection From A Vertical Flat Plate With A Surface Temperature Oscillation", International Journal of Heat and Mass Transfer, Vol. 44, Issue 12, p. 2311-2322.

Manz, H. 2003. "Numerical Simulation of Heat Transfer By Natural Convection In Cavities Of Facade Elements", Energy and Buildings, Vol. 35, Issue 3, p. 305-311.

Ostrach, S. 1953. "An Analysis Of Laminar Free Convection Flow and Heat Transfer About A Flat Plate Parallel To Direction Of The Generating Body Force", National Advisory Committee for Aeronautics, Report 1111.

Saito, A. and Yamasaki, K. 2000. "Natural Convection Heat Transfer From A Vertical Thick Plate At Low Grashof Numbers", Heat Transfer – Asian Research, 29 (8), p. 609-622.

Yang, H. X. and Zhu, Z. J. 2003 "Numerical Study On Transient Laminar Natural Convection In Inclined Parallel-Walled Channel", Int. Comm. Heat Mass Transfer, Vol. 30, No. 3, pp. 359-367.